

III-210 ある締固め粘性土の力学特性に及ぼす撹乱の影響

(賤) 大阪土質試験所

橋本 正

大西 翼美

滝口 好文

1. まえがき

盛土工事においては、材料工の掘削 → 運搬 → まき出し → 敷設 → 転圧 という一連の作業工程がとられるのが一般的である。材料土の形状は、掘削時に破壊され、敷均し過程までに擾乱される。特に構造性に富む粘性においては、擾乱により盛土の強度、変形特性に与える影響が大きい。そこで今回は、擾乱の程度を変えた試料を数種類作成し、一軸圧縮試験と圧縮試験により、擾乱の影響を調べた。

2. 試料および実験方法

実験に用いた材料土は、大阪弓削上部に分布する明美レキ弓であり、凝灰質のレキを主体としている。本弓は元来砂レキ弓であったものが、著しい風化作用を受け、全くレキ弓といふ名前には值しないまでにシルト化しており、レキはわずかに組織を残した状態で風化している残渣レキとして存在しているにすぎない。

材料土の掘削 → 撓乱 → 転圧過程の形状の変化を図-1に示す。

○物理特性

実験には、採取位置の異なるA材料およびB材料を用いた。それらの物理特性を、図-2に示す。A材料は日本統一分類では、CL、B材料はMLであった。なお粒度分析は、完全に練り返した後行ったものであり、図-1、C.の状態のものである。

○実験的特性

実験的特性は、非乾燥法、非排水法により行った。標準プローフ-1に相当する締固めエネルギーのところでは最大乾燥密度および最適含水比はA材料: $\gamma_d \text{ max} = 1.437 \text{ g/cm}^3$, $W_{opt} = 22.0\%$, B材料: $\gamma_d \text{ max} = 1.415 \text{ g/cm}^3$, $W_{opt} = 24.5\%$ 、となった。

○実験方法

実験に準備した試料状況は、次の4種類である。
 ①地山の土を不擾乱採取したもの、
 ②不擾乱試料をときほぐす程度のもの、
 ③不擾乱試料をときほぐし、約5分間手でこねかえたもの、
 ④十分にこねかえたもの、
 含水比調整後の①～④の試料について、所定の密度子で静的に圧縮させた後、一軸圧縮試験または圧縮試験を行った。

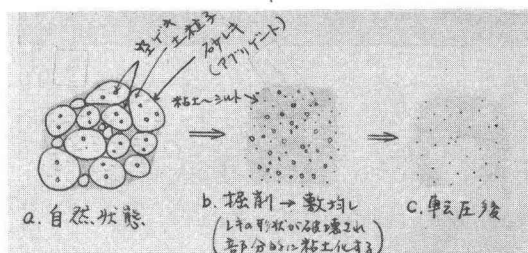


図-1 形状の変化

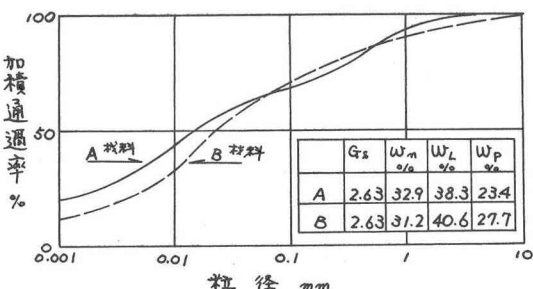


図-2 粒径過積曲線

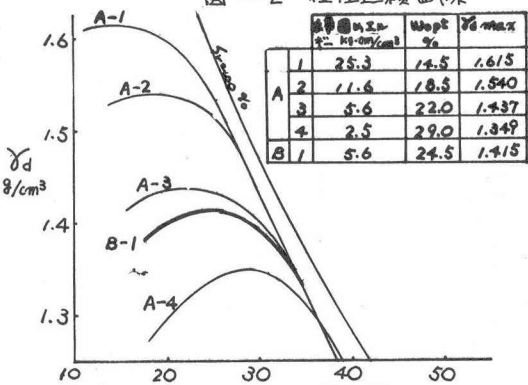


図-3 細固め曲線

3. 実験結果および考察

擾乱程度の異なる試料について、同じ密度、および含水比(γ_d, w)のもとでの一軸圧縮試験結果の一例を、図-4に応力～ひずみの関係として示した。含水比が高くなるほど、 $\sigma_{1max}(gu)$ の値は擾乱程度により、ほとんどわからず、破壊ひずみも大きくなっている。これらの一連の試験結果をまとめて(γ_d, w)面上に gu をプロットし、等 gu 線を描くと図-5となる。擾乱程度(②, ③, ④)の変化により、 gu は同じ(γ_d, w)のもとでも、異なる値を示し、ほぐした状態②の強さは塊山の不擾乱試料①の強さとはほぼ等しいことがわかる。擾乱による gu の低下率を表-1に示すが、締固め度の小さい程ほど含水比が最適含水比に近い程低下率は大きい。図-6は、変形付数 E_{50} と gu の関係をまとめたものであるが、擾乱の影響が顕著にみられる。

①, ②の状態では gu は E_{50} に比べて E_{50} が大きい。即ち、応力～ひずみ曲線が、鋭い立ち上がりを見せ、擾乱の大きい④では、ひずみとともに応力も徐々に増大する傾向を示している。また実際の盛土転圧後の試料は、ほんのり④の近傍にあることがわかる。圧縮に関しては、圧縮段階より圧密に移る過程の試験を行なうが、 $e - \log P$ 曲線において、擾乱による C_c の変化はみられない。たゞ P_y の減少がみられた。

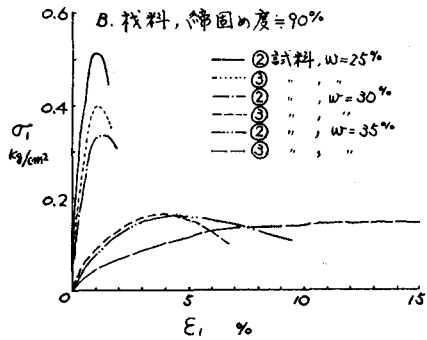


図-4 応力～ひずみ曲線

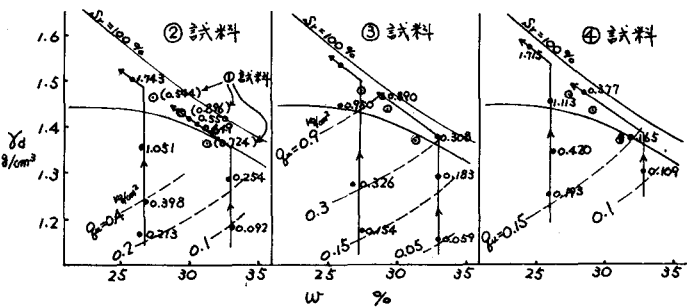


図-5 推定等 gu 曲線

4. あとがき

表-1 減少率

含水比 w%	密度 γ_d kg/cm³	A 試料		B 試料		
		②	③	④	②	③
25	1.4	1	0.75	0.42	1	0.93
	1.3	1	0.77	0.46	1	0.83
	1.2	1	0.83	0.47	1	0.57
30	1.4	1	0.77	0.46	1	0.86
	1.3	1	0.75	0.35	1	0.58
	1.2	1	0.75	0.45	1	1
35	1.3	1	0.78	0.44	1	1
	1.2	1	0.38	0.23	1	1

は、今回の実験では困難なことばかり、先づに加えて擾乱による構造の影響を考慮する必要性を考慮した。土の構造の影響に関しては、1)の土の種類によってその程度が異なり、締固め土では、3)の応力状態のうち、締固め方法によって構造の変化が現れる。土の構造の変化により、応力～ひずみ関係が異なり、それを定量的に把握することは難しいので、今回応力～ひずみ関係としての E_{50} と土の強さ gu との関係を追求することとした。

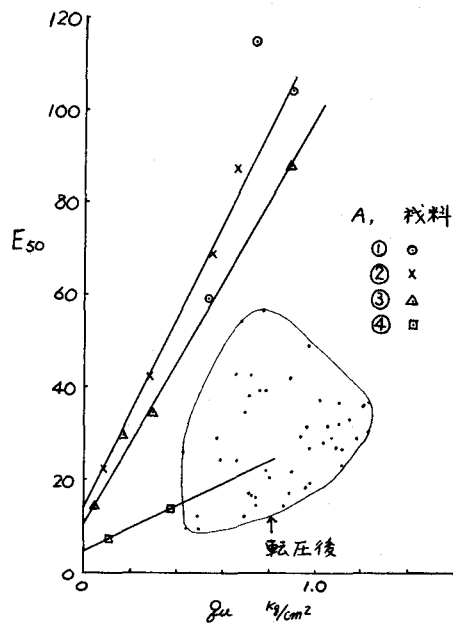


図-6 E_{50} - gu の関係